электронный научно-технический журнал

# **ИНЖЕНЕРНЫЙ ВЕСТНИК**

издатель ФГБОУ ВПО «Московский государственный технический университет им. Н.Э. Баумана»

Распознавание аномального поведения человека по его эмоциональному состоянию и уровню напряженности с использованием экспертных правил

77-48211/568250

# 03, март 2013 Князев Б. А., Гапанюк Ю. Е. УДК 004.93

Россия, МГТУ им. Н.Э. Баумана bknyazev@bmstu.ru

### Введение

Интеллектуальные системы видео анализа поведения людей имеют широкую область применения: обеспечение безопасности за счет автоматического контроля траекторий перемещения людей [1], обеспечение безопасности за счет анализа поведения массовых скоплений людей, помощь в проведении оперативно-розыскных мероприятий [2], психологическое и медицинское диагностирование [3].

Одной из задач интеллектуального видео анализа в таких системах является классификация поведения людей на «нормальное» и «аномальное». Под «аномальным поведением» человека понимается последовательность его действий, которая не соответствует модели типичного поведения людей в конкретной ситуации, либо которая не представлена достаточным количеством примеров в обученной базе данных [4].

На основе анализа работ по распознаванию объектов на видеоизображениях [5, 6], обнаружению аномального поведения человека [4,7,8,9] и работ по методам контекстного описания видео [10,11] составлена методика обнаружения аномального поведения человека:

Первичная обработка

- 1. Низкоуровневая обработка видео, извлечение отдельных кадров.
- 2. Сегментирование изображений, распознавание контуров объектов сцены, детектирование людей.
- 3. Распознавание паттернов двигательной (невербальной) активности как объектов видео анализа.
- 4. Слежение за паттернами, вычисление динамики характеристик.

Вторичная обработка

- 5. Определение семантических, вероятностных/статистических и других характеристик двигательной активности в соответствии с моделью поведения.
- 6. **Принятие решения** об аномальности поведения, как о совокупности количественных и семантических характеристик.
- 7. Вычисление ошибок, адаптация моделей.

Модель поведения объектов исследования может представлять собой:

- статистическую или вероятностную модель, такую как
  - о динамическую сеть Байеса (англ. DBN) [4];
  - о скрытую Марковскую модель (англ. НММ) [5];
  - о стохастическую контекстно-свободную грамматику (англ. *SCFG*) [5];
  - о распределение плотности вероятности (англ. Probability density function) [7];
- базу данных нормальной и аномальной активности в виде набора изображений и их декомпозиций [8];
- модель представления знаний (например, в системе распознавания компьютерных угроз на основе онтологий [12]);
- другие модели, в том числе расширения и комбинации изложенных выше моделей.

**Принятие решения** может осуществляться с помощью экспертных продукционных правил (как, например, в [5]) или с помощью вычисления расстояний (Евклида, Махаланобиса, Кульбака – Лейблера) между векторами [13].

Даная методика отражает трудоемкость решения проблемы автоматического обнаружения аномального поведения на основе видеоинформации в общем виде. Однако существуют решения данной задачи для частных случаев, таких как распознавание аномальной траектории движения объектов и аномальных событий [4,5], распознавание аномального движений на основе информации, заложенной в видео компрессии [7], распознавание аномальных жестов и походки [8]. Решение данной задачи для случая распознавания аномального «эмоционального состояния» и «уровня напряженности» также может быть реализовано.

«Эмоциональное состояние» (или эмоцию) и «уровень напряженности» человека можно рассматривать с разных точек зрения. С точки зрения невербальной психологии – как состояния, которые отражает мимика лица и многие другие аспекты невербального поведения человека, такие как походка, жесты и другие. С точки зрения общей психологии, психологии труда и физиологии – как показатели психического, физиологического и функционального состояния человека [14]. Как следствие, имея оценку текущего эмоционального состояния и уровня напряженности человека, а также

модель типичного поведения и/или решающие правила, можно сделать вывод, является ли поведение аномальным.

Политика безопасности автоматизированной системы может включать модель типичного поведения субъекта угроз и/или экспертные продукционные правила для определения деструктивных аномальных действий [15]. В данной работе роль субъекта угроз выполняет человек-оператор ЭВМ, а оценку текущего эмоционального состояния и уровня напряженности предлагается определять на основе мимики человека, так как существуют методы достаточно точного распознавания эмоций по статическому и динамическому изображению лица.

В данной работе предлагается решение частного случая задачи автоматического обнаружения аномального поведения человека на основе видеоинформации с помощью распознавания его текущего эмоционального состояния и уровня напряженности, и применения экспертных правил для принятия решения.

## 1 Обзор методов распознавания эмоций

Задача автоматического распознавания эмоций привлекает все больше и больше внимания, и, как следствие, все больше различных методов используется для ее решения. Резюмируя приведенные в [13] и [16] подробные обзоры существующих методов и выполненный в данной работе анализ, следует выделить следующие классы методов (таблица 1):

- холистические методы (то есть обрабатывающие изображение лица целиком);
- локальные методы (то есть обрабатывающие изображения элементов лица);
- методы, вычисляющие форму объектов;
- методы, вычисляющие динамику объектов.

Таблица 1 – Классификация методов автоматического распознавания эмоций

	Холистические методы	Локальные методы
Методы, вычисляющие форму	Классификаторы: ANN [17], SVM [21,22], Random forest [26], LVQ [24], Adaboost [19] Вейвлеты и фильтры Габора [24,26,27,28] Преобразование Хафа [26] 2D Модели лица: AAM [23], ASM [19,34], EBGM [22]	Классификаторы: ANN [18], SVM [25,27,31], GA [18], Классификатор Байеса [20], Adaboost [20,25] Геометрические модели лица [17,33,34] Собственные вектора: PCA [24,27], LDA [25] Локальные гистограммы: HoG [31], LBP [19,25,28]
Методы, вычисляющие динамику	Оптический поток [21,29] Динамические модели [29]	3D динамические модели [33,34] Статистические модели: <i>HMM</i> [30], <i>DBN</i> [23]

В таблице 1 используются следующие общепринятые англоязычные аббревиатуры: ANN — искусственные нейронные сети, SVM — методы опорных векторов, GA — генетические алгоритмы, LVQ — векторное квантование (сеть Кохонена), AAM — модель представления, ASM — модель формы, EBGM — эластичный граф, PCA — метод главных компонент, LDA — линейный дискриминантный анализ, LBP — локальные бинарные шаблоны, HoG — гистограмма направленных градиентов.

В последнее время для распознавания эмоций в основном применяют комплексные подходы, общий принцип которых заключается в следующем (рисунок 1):

- 1. Выделение и нормализация изображения лица.
- **2.** Извлечение характеристических точек и особенностей лица, его формы и текстуры, вычисление динамики характеристик.
- 3. Опциональная обработка характеристик.
- 4. Классификация эмоциональных и других состояний.
- 5. Интерпретация результатов.

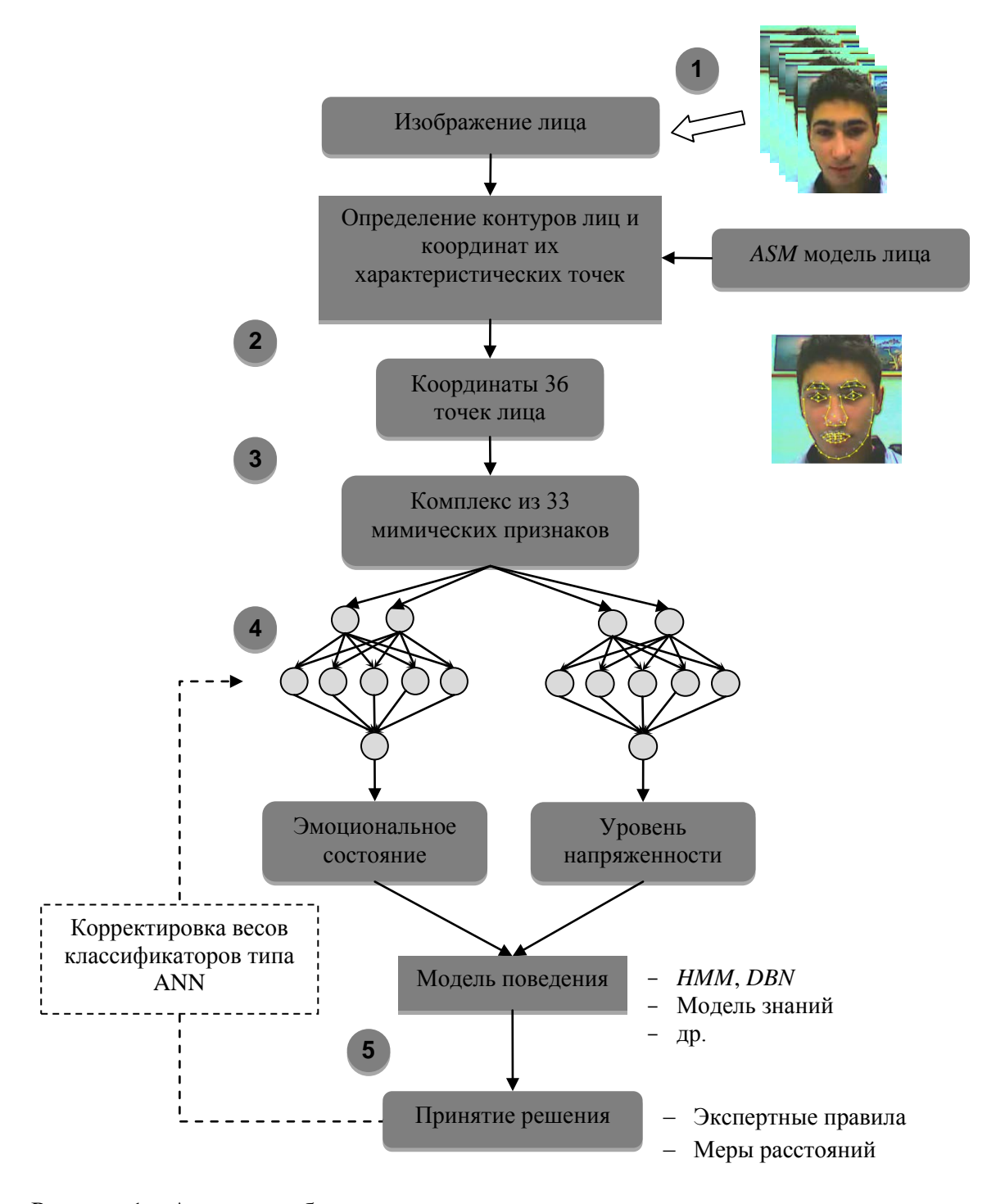


Рисунок 1 – Алгоритм обнаружения аномального поведения с помощью локального метода распознавания эмоционального состояния и уровня напряженности, вычисляющего форму. Цифрами обозначены шаги общего принципа распознавания эмоций. Пунктиром обозначены опциональные блоки и связи.

В таблице 2 представлены краткие сведения о некоторых подходах, реализующих данный принцип и показавших наиболее точные результаты.

Таблица 2 – Комплексные подходы, показавшие наилучшие результаты

Извлечение особенностей	Классификатор	Точность	Эмоции	Авторы
ASM + Мимические признаки	ANN	73-91%	Экман + нейтральная эмоция + уровни напряженности	Кашапова и др. [17]
РСА + Фильтр Габора	SVM	70-90%	Экман	N. Agrawal et al. [27]
Оптический поток	SVM	75-90%	Экман	K. Anderson et al. [21]
Преобразование Хафа	Random Forest	62-100%	Экман	G. Fanelli et al. [26]

В данной работе предлагается использование метода «ASM + Мимические признаки + ANN», в котором на шаге 3 вычисляются мимические признаки на основе характеристических точек лица, а помимо классификации эмоций также классифицируются уровни напряженности (рисунок 1).

**Недостатками** данного метода являются отсутствие вычисления динамики мимики лица; чувствительность к нерегулярностям изображения лица, таким как ориентация головы и освещенность, из-за использования модели формы ASM; низкая производительность и отсутствие обратной связи с классификаторами.

**Преимуществами** данного метода являются использование общепринятой классификации эмоций, предложенной Полом Экманом; использование инвариантного к масштабу изображения лица мимического комплекса в составе 33 геометрических признаков модели лица (углов и расстояний); относительная простота разработки и конкурентоспособные результаты для выбранной тестируемой базы.

## 2 Характеристики метода распознавания эмоций и уровня напряженности

## 2.1 Классификация

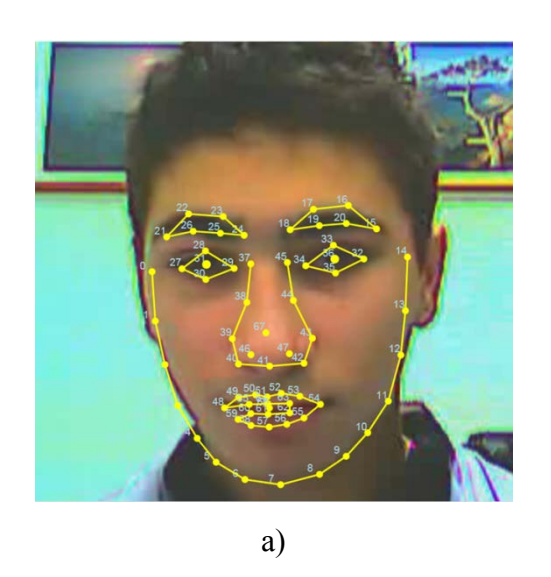
Существует достаточно много вариантов классификации эмоциональных состояний и критериев дискретизации эмоций между собой. Несмотря на это, ни одна из классификаций не может полноценно интерпретировать все состояния случайно выбранного человека, и в этом смысле задача автоматического определения эмоций является «плохо» определенной. Преимущество классификации Пола Экмана заключается в высокой корреляции результатов среди исследуемого набора людей по параметрам пол,

национальность и возраст, и в рамках таких критериев данная классификация определяется как «универсальная» [35]. В [36] говорится также о врожденности выражений лица для предложенных эмоций. Классификация представляет собой шесть эмоций, такие как счастье, печаль, гнев, страх, удивление и отвращение (англ. happiness, sadness, anger, fear, surprise, disgust). Помимо этого, преимуществом классификации является ее общепринятое использование в исследованиях задачи распознавания эмоций, что позволяет объективизировать процесс сравнения результатов исследований. Классификатор также удобен тем, что для формализации описания наблюдаемых мимических изменений разработаны различные системы кодирования выражения лица (ЕМFACS, FACS), в которых определяются комбинации мимических движений для каждой базовой эмоции (англ. action units AU, motion units MU) [37]. Однако данные комбинации локализированы по областям лица, а также не учитывают временные свойства мимических движений [29].

Классификация уровней напряженности предоставляет дополнительные сведения о состоянии человека. В [17] используется классификация, предложенная Т.А. Немчиным на основании исследования субъективных ощущений испытуемых, медицинского обследования и наблюдений [38]: слабый, умеренный и чрезмерный уровни напряженности. Возможность данной классификации в автоматическом режиме обусловлена результатами анализа, изложенного в [39]. Данные результаты позволяют определять характеристики психологической напряженности так же, как и эмоционального состояния – по особенностям двигательных проявлений реципиента, и в частности, по мимическим выражениям лица.

## 2.2 Мимические признаки

Классификатору эмоциональных состояний и уровней напряженности необходимо предоставить комплекс признаков, инвариантный к нерегулярностям изображения лица. Мимический комплекс представляет собой 33 геометрических признака модели лица: различные меры углов и расстояний между 36 контрольными антропометрическими точками [17]. В открытом доступе существует несколько библиотек, реализующих *ASM* [40-43] и позволяющих вычислить координаты необходимых контрольных точек. В [17] для этой цели используется библиотека *ASMlibrary* (рисунок 2).



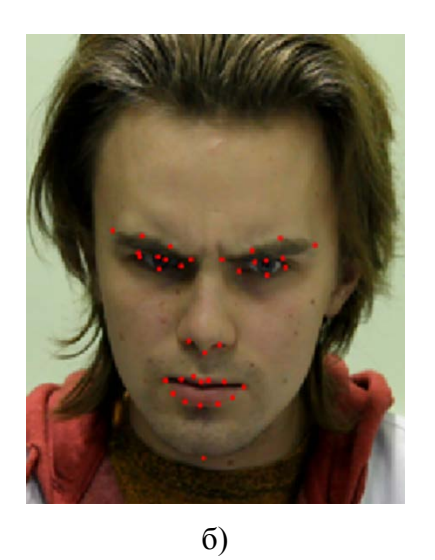


Рисунок 2 – а) 65 точек, вычисленных с помощью библиотеки *ASMLibrary*; б) 36 антропометрических точек, необходимых для вычисления мимического комплекса и распознавания аномального поведения.

# 2.3 Нейронная сеть

Для классификации эмоций и уровней напряженности выбранный метод использует нейронную сеть типа персептрон с входным слоем, скрытым слоем и выходным слоем (таблица 3).

Таблица 3 – Характеристики нейронной сети

Назначение нейронной сети	M	N	K	$f_{act}$	fact out
Эмоции	33	99	7	tanh	softmax
Уровни напряженности	33	58	3	logistic	softmax

В приведенной таблице используются следующие обозначения: M, N, K – число нейронов во входном, скрытом и выходном слоях соответственно;  $f_{act}$ ,  $f_{act\ out}$  – функции активации скрытых и выходных нейронов соответственно; tanh – гиперболический тангенс; logistic – логистическая функция; softmax – передаточная функция нейрона. Детальные выражения решающих функций нейронной сети могут быть найдены, например, в [44]. Для эмоций и уровней напряженности они аналогичны и имеют следующий вид:

$$y_k = f_{act\ out}\left(\sum_{i=1}^N w_{-}out_{ki} \cdot f_{act}\left(\sum_{j=1}^M w_{ij} \cdot x_j + b_i\right) + b_k\right),$$

где k = 1,K;  $y_k$  – значение на выходе k-го нейрона выходного слоя;  $x_j$  – значение j-го нейрона входного слоя;  $b_i$ ,  $b_k$  – сдвиги на скрытом и выходном слоях соответственно;  $W_{ij}$  – весовой коэффициент связи j-го нейрона входного слоя и i-го нейрона скрытого слоя;  $W_{-}out_{ki}$  – весовой коэффициент связи i-го нейрона скрытого слоя и k-го нейрона выходного слоя.

В дальнейшем функции активации выходных нейронов ( $f_{act\ out}$ ) для эмоций и уровней напряженности будем обозначать как  $f_E$  и  $f_S$  соответственно, другие обозначения аналогично будем использовать с индексом E (для эмоций) или S (для уровня напряженности).

## 3 Экспертный подход

Значения  $y_k$  функции активации для эмоций представляют собой распределение коэффициентов принадлежности текущего состояния к одной из семи эмоций (шесть базовых и нейтральная эмоция), поэтому  $K_E = 7$ , при этом  $\Sigma_k y_k = 1$ , k = 1, 7. Значения  $y_k$  функции активации для уровней напряженности также представляют собой распределение коэффициентов принадлежности текущего состояния к одному из трех уровней напряженности, поэтому  $K_S = 3$ , при этом  $\Sigma_k y_k = 1$ , k = 7, 9. Однако количественная оценка нейтральной эмоции не является информативной для обнаружения аномального состояния человека, поэтому далее будем учитывать только шесть базовых коэффициентов, то есть  $y_k = f_E \ \forall \ k = 1, 6$ . Распределение коэффициентов уровня напряженности для данной задачи удобнее представить в виде одного коэффициента  $y_7$ , линейно отражающего общее состояние напряженности:

$$y_7 = y_8/2 + y_9$$

где  $y_8$  – уровень умеренной напряженности,  $y_9$  – уровень чрезмерной напряженности, вычисленные нейронной сетью.

Пусть  $S = \{S_i\}$ , i = 1,N— множество классов аномального поведения,  $Q = \{q_k\}$ , k = 1,K— алфавит признаков аномального поведения,  $Y = \{y_k\}$ — количественная оценка признаков аномального поведения, где  $y_k = f_k(q_k)$ — функция количественной оценки эмоционального состояния и уровня напряженности, то есть функция активации нейронной сети.

Для каждого класса аномальных состояний  $S_i$  пусть имеется множество пороговых значений количественной оценки признаков аномального поведения  $X = \{x_{i,k}\}$ , где  $x_{i,k} = [0,1]$ .

Таким образом, задача определения аномального поведения представляет собой нахождение отображения:

$$Y \times S \times X \mapsto R$$
.

где R – это множество некоторых решающих правил.

Пусть решающие правила имеют булевы значения:  $\theta$  – меньше порогового значения, 1 – больше порогового значения. Тогда,

$$Y \times S \times X \mapsto \{0,1\}.$$

На основе гипотез об аномальных состояниях оператора составим экспертную таблицу пороговых значений для четырех классов аномальных состояний, и для примера зададим значения для одного из классов (таблица 4).

Таблица 4 — Экспертная таблица пороговых значений признаков для четырех классов аномальных состояний

Признаки		Классы аномальных состояний <i>S</i>			
Y	Элементы алфавита <i>Q</i>	S <sub>1</sub>	$S_2$	S <sub>3</sub>	S <sub>4</sub>
$f_E(q_1)$	гнев	X1,1	0.3	X3,1	X4,1
$f_E(q_2)$	отвращение	X1,2	0.4	X3,2	X4,2
$f_E(q_3)$	страх	X1,3	0.3	X3,3	X4,3
$f_E(q_4)$	счастье	X1,4	0.8	X3,4	X4,4
$f_{E}(q_{5})$	печаль	X1,5	0.8	X3,5	X4,5
$f_E(q_6)$	удивление	X1,6	0.5	X3,6	X4,6
fs(q7)	уровень напряженности	X1,7	0.5	X3,7	X4,7

Отображения могут быть реализованы в виде продукционных правил, например:

1.  $\{f_E(q_3) > X_{2,3} \land f_S(q_7) > X_{2,7}\} \mapsto 1$ , то есть, если значения страха и уровня напряженности больше  $X_{2,3}$  (0.3) и  $X_{2,7}$  (0.5) соответственно, то текущее состояние относится к классу  $S_2$  аномального поведения.

2.  $\{f_E(q_2) > X_{3,2} \land f_E(q_6) > X_{3,6}\} \mapsto 0$ , то есть, если значения отвращения и удивления больше  $X_{3,2}$  и  $X_{3,6}$  соответственно, то текущее состояние НЕ относится к классу  $S_3$  аномального поведения.

Таким образом, чтобы поведение классифицировать как нормальное, необходимо убедиться, что оно не принадлежит ни одному из классов  $S_i$ , в противном случае поведение аномальное.

# 4 Эксперимент и оценочные результаты

Для обучения нейронной сети использовался пакет программ *MATLAB*, базы данных "*MMI Facial Expression Database*" [45], "*Corol Feret*" [46] и базы данных НИИЦ БТ МГТУ им. Н.Э. Баумана. Также, для тестирования алгоритмов на конкретных видеоизображениях применялось дополнительное специальное программное обеспечение (СПО), реализованное на платформе *Microsoft .NET Framework 3.5*.

Провести объективный и масштабный эксперимент, оценивающий эффективность системы, достаточно сложно, поэтому предлагаются расчетные характеристики, полученные с использованием разработанного макета системы. На рисунке 3 представлен график зависимости вероятности успешного распознавания аномального поведения от времени работы системы для каждого признака аномального поведения за 70 рабочих дней.

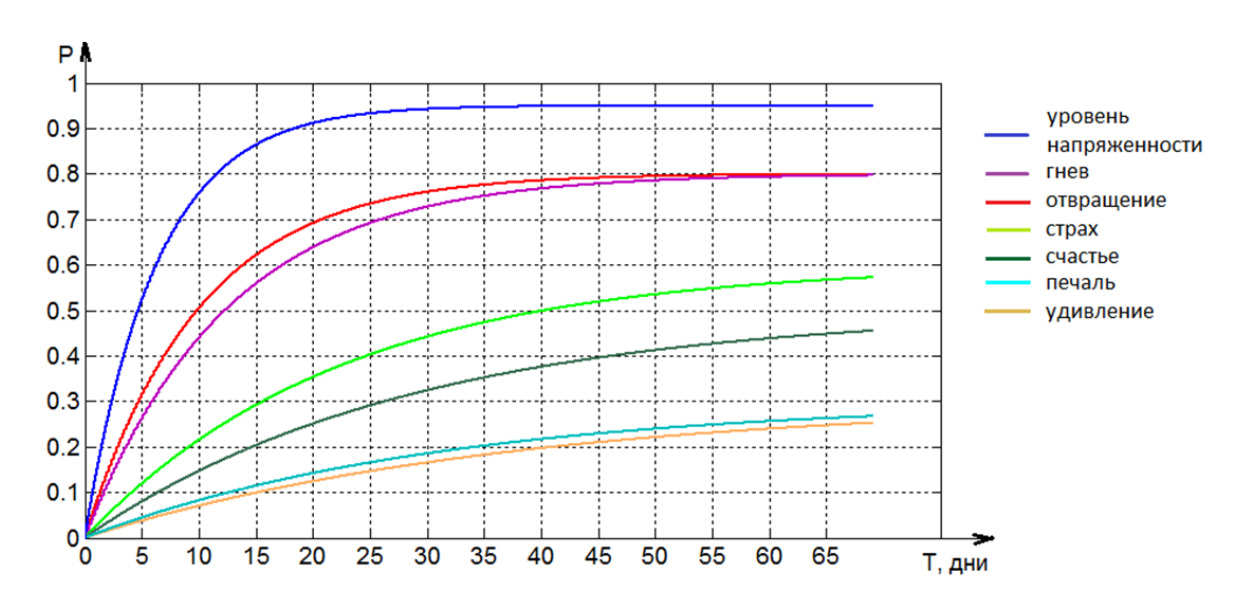


Рисунок 3 – Зависимость вероятности распознавания аномального поведения по признакам от времени работы системы

Наибольшее влияние на успешное распознавание потенциального аномального поведения оказывает уровень напряженности. Это связано с высокой вероятностью определения значения этого признака для оператора в текущий момент времени и с достаточно точным (по субъективной оценке) отражением функционального состояния оператора по значению этого признака. Возрастающие значения связаны с адаптацией (в данном случае ручной) нейронной сети и экспертных правил в процессе работы системы.

Данный подход может быть использован для противодействия инсайдерским угрозам в составе систем обнаружения вторжений (СОВ), описанным в [15]. В проведенном на стенде исследовании, благодаря подключению разработанного биометрического датчика к функционирующей в автоматизированной системе СОВ, возможно значительное увеличение уровня защиты от атак внутреннего характера (рисунок 4).

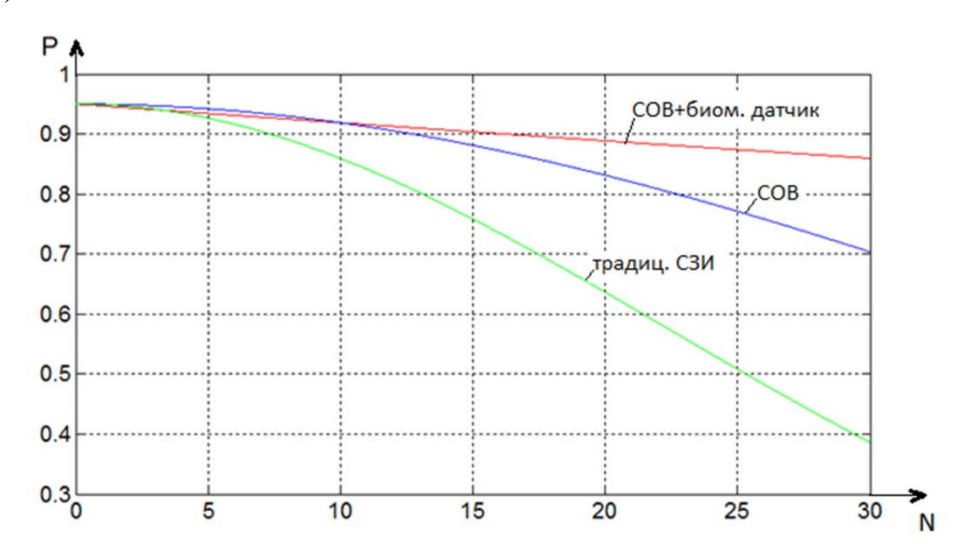


Рисунок 4 — Зависимость вероятности распознавания аномального поведения от количества инсайдерских атак

#### Заключение

В данной работе изложены результаты исследования проблемы построения системы автоматического обнаружения аномального поведения человека на основе видеоинформации в общем виде. Выполнен краткий обзор методов обнаружения аномального поведения человека и методов автоматического распознавания его эмоционального состояния, выделены общие принципы построения системы и предложен алгоритм решения частной задачи.

Предложенное решение основано на распознавании аномального поведения человека по его текущему эмоциональному состоянию и уровню напряженности. В качестве метода распознавания эмоций выбран метод, основанный на вычислении мимических признаков и из классификации с помощью персептронной нейронной сети.

Преимущество данного метода заключается в относительно высокой точности распознавания для определенного набора нормализованных изображений лица, и в вычислении уровня напряженности человека как источника дополнительной информации.

В качестве блока принятия решения выбран экспертный подход, предложена таблица экспертных значений на примере четырех классов аномального поведения. Приведенная оценка эффективности предложенного решения показывает целесообразность его использования в системах обнаружения вторжений.

В последующих работах предлагается использовать разновидность статистической и семантической моделей поведения и альтернативные методы принятия решения об аномальном поведении человека.

## Список литературы

- 8. Хрулев А.А. Интегрированные автоматизированные системы безопасности для массовых мероприятий на основе биометрических технологий // Евразийский форум "Инфофорум-Евразия", 2010.
- 9. Спиридонов И.Н. Биометрические технологии идентификации личности и безопасность государства // Евразийский форум "Инфофорум-Евразия"", 2010.
- 10. Спиридонов И.Н., Кашапова Л.Х. Определение эмоционального состояния по видеоизображению лица // Евразийский форум "Инфофорум-Евразия", 2012.
- 11. Tao Xiang, Shaogang Gong. Video Behavior Profiling for Anomaly Detection // Pattern Analysis and Machine Intelligence, IEEE Transactions on , vol.30, no.5, pp.893-908, 2008.
- 12. Ivanov Y.A., Bobick A.F. Recognition of multi-agent interaction in video surveillance // Computer Vision, 1999. The Proceedings of the Seventh IEEE International Conference on, vol.1, no., pp.169-176 vol.1, 1999.
- 13. Jabri S., Duric Z., Wechsler H., Rosenfeld A. Detection and location of people in video images using adaptive fusion of color and edge information // Pattern Recognition, 2000. Proceedings. 15th International Conference on , vol.4, pp.627-630 vol.4, 2000.
- 14. Kiryati N., Raviv T.R., Ivanchenko Y., Rochel S. Real-time abnormal motion detection in surveillance video // Pattern Recognition, 2008. ICPR 2008. 19th International Conference on , pp.1-4, 2008.
- 15. Boiman O., Irani M. Detecting irregularities in images and in video // Computer Vision, 2005. ICCV 2005. Tenth IEEE International Conference on , vol.1, pp.462-469, 2005.

- Птицын Н.В. Встроенная видеоаналитика для детектирования и сопровождения объектов при помощи многомасштабных признаков. Режим доступа: http://www.graphicon.ru/proceedings/2010/conference/RU/Se3/31.pdf (дата обращения 18.02.2013)
- 17. Sikora T. The MPEG-7 visual standard for content description-an overview // Circuits and Systems for Video Technology, IEEE Transactions on , vol.11, no.6, pp.696-702, 2001.
- Nevatia R., Hobbs J., Bolles B. An Ontology for Video Event Representation // Computer Vision and Pattern Recognition Workshop, 2004. CVPRW '04. Conference on, pp.119-119, 2004
- 19. Abdoli F., Kahani M. Ontology-based distributed intrusion detection system // Computer Conference, 2009. CSICC 2009. 14th International CSI, pp.65-70, 2009
- 20. Fasel B., Luettin J. Automatic facial expression analysis: a survey// Pattern Recognition. 2003. vol.36, iss.1, pp.259-275, 2003.
- 21. Леонова А. Б., Медведев В. И. Функциональные состояния человека в трудовой деятельности. М.: [б.н.], 1981.
- 22. Климов С. М. Методы и модели противодействия компьютерным атакам. Люберцы: КАТАЛИТ, 2008. 306 с.
- 23. Sandbach G., Zafeiriou S., Pantic M., Yin L. Static and dynamic 3D facial expression recognition: A comprehensive survey // Image and Vision Computing, vol.30, iss.10, pp.683-697, 2012.
- 24. Кашапова Л.Х., Хрулев А.А., Спиридонов И.Н. Проектирование автоматизированной системы распознавания эмоционального состояния по мимике // Фотометрия и ее метрологическое обеспечение: Тез. докл. XVII РНТК. – М., 2008. – с. 262-264.
- 25. Karthigayan M., Rizon M., Nagarajan R., Yaacob S. Genetic Algorithm and Neural Network for Face Emotion Recognition // Affective Computing, 2008
- 26. Zhao Xingli, Zhang Hong, Xu Zhan. Expression recognition by extracting facial features of shapes and textures//Journal of Computational Information Systems. 8(8): 3377-3384, 2012
- 27. Azcarate A., Hageloh F., Koen Van De S, Valenti R. Automatic facial emotion recognition // tech. rep., Universiteit Van Amsterdam, 2005.

- 28. Anderson K., McOwan Peter W. A real-time automated system for the recognition of human facial expressions // Systems, Man, and Cybernetics, Part B: Cybernetics, IEEE Transactions on , vol.36, no.1, pp.96-105, 2006.
- 29. Takiguchi T., Adachi J., Ariki Y. Video editing based on situation awareness from voice information and face emotion // In F. De Rango Ed., Digital video. Rjeka, Croatia: InTech, 2010.
- 30. Kwang-Eun Ko, Kwee-Bo Sim. Facial emotion recognition using a combining AAM with DBN // Control Automation and Systems (ICCAS), 2010 International Conference on, pp.1436-1439, 2010
- 31. Bashyal S., Venayagamoorthy G.K., Recognition of facial expressions using Gabor wavelets and learning vector quantization // Engineering Applications of Artificial Intelligence, 2008
- 32. Shan C., Gong S., McOwan Peter W. Facial expression recognition based on Local Binary Patterns: A comprehensive study // Image and Vision Computing, v.27 n.6, pp.803-816, May, 2009
- 33. Fanelli G., Yao A., Noel Pierre-Luc, Gall J., Luc Van Gool. Hough Forest-based Facial Expression Recognition from Video Sequences // In Proceeding ECCV'10 Proceedings of the 11th European conference on Trends and Topics in Computer Vision, Vol. part 1, pp. 195-206, 2012.
- 34. Agrawal N., Cosgriff R., Mudur R. Mood Detection: Implementing a facial expression recognition system // Stanford University, 2010
- 35. Moore S., Bowden R. Local Binary Patterns for Multi-view Facial Expression Recognition // In Computer Vision and Image Understanding, 115(4), pp.541-558, April 2011.
- 36. Essa I.A., Pentland A.P. Facial expression recognition using a dynamic model and motion energy // Computer Vision, 1995. Proceedings., Fifth International Conference on, pp.360-367, 1995
- 37. Cohen I., Garg A., Huang T.. Emotion recognition from facial expressions using multilevel HMM // In Neural Information Processing Systems, 2000
- 38. Dahmane M., Meunier J. Emotion recognition using dynamic grid-based HoG features //
  Automatic Face & Gesture Recognition and Workshops (FG 2011), 2011 IEEE
  International Conference on, pp.884-888, 2011.

- 39. Tie Yun, Ling Guan. Human emotion recognition using a deformable 3D facial expression model // Circuits and Systems (ISCAS), 2012 IEEE International Symposium on, pp.1115-1118, 2012.
- 40. Yun Tie, Ling Guan. A Deformable 3-D Facial Expression Model for Dynamic Human Emotional State Recognition // Circuits and Systems for Video Technology, IEEE Transactions on, vol.23, no.1, pp.142-157, 2013.
- 41. Tsalakanidou F., Malassiotis Sotiris. Real-time 2D+3D facial action and expression recognition // Pattern Recognition, v.43 n.5, p.1763-1775, May, 2010.
- 42. Ekman P. Strong evidence for universals in facial expressions // Psychol. Bull., 115(2): 268–287, 1994.
- 43. Izard C.E. Innate and universal facial expressions: evidence from developmental and crosscultural research // Psychol. Bull., 115(2): 288–299, 1994.
- 44. Ekman P., Friesen W. V., Hager J. C. Facial Action Coding System Investigator's Guide. // Research Nexus, 2002
- 45. Немчин Т.А. Состояния нервно-психического напряжения. Л., Изд-во ЛГУ, 1983.
- 46. Марютина Т.М. Психофизиология эмоционально-потребностной сферы. Режим доступа: http://www.ido.edu.ru/psychology/psychophysiology/ (дата обращения: 25.12.2009)
- 47. An open source Active Shape Model library. Режим доступа: http://code.google.com/p/asmlib-opency/ (дата обращения 18.02.2013)
- 48. Google Project Hosting Library of Active Shape Model. Режим доступа: http://code.google.com/p/asmlibrary/ (дата обращения 18.02.2013)
- 49. Active Shape Models with Stasm. Режим доступа: http://www.milbo.users.sonic.net/stasm/index.html (дата обращения 18.02.2013)
- 50. Dirk-Jan Kroon, Active Shape Model (ASM) and Active Appearance Model (AAM). Режим доступа: http://www.mathworks.com/matlabcentral/fileexchange/26706-active-shape-model-asm-and-active-appearance-model-aam (дата обращения 18.02.2013)
- 51. Хайкин Саймон. Нейронные сети. Полный курс. М.: Вильямс, 2006. 1104 с.
- 52. MMI Facial Expression Database. Режим доступа: http://www.mmifacedb.com (дата обращения 18.02.2013)
- 53. The Color FERET Database. Режим доступа: http://face.nist.gov/colorferet (дата обращения: 29.12.2009)